

## Kapitel II: Konvexe Polygone

### 2.1 Einführung:

2.1.1 Ziel: Datenstruktur für Konvexe Polygone, die verschiedene Operationen effizient unterstützt. → Hierarchische Darstellung.

2.1.2 Idee: Investiere Zeit und Platz  $O(n)$  in Aufbau dieser Struktur, um nachfolgende Operationen billig zu machen.

Wohnt sich nur, wenn mit demselben Polygon viele Operationen durchgeführt werden.

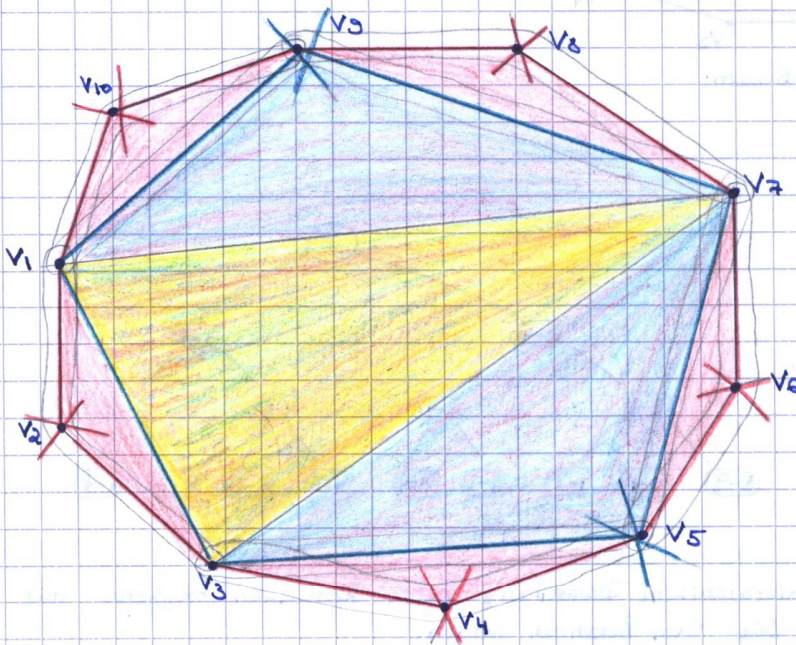
Hierarchische Darstellung: Konstruiere Folge von Teilpolygone, die das Polygon immer genauer beschreiben.

2.1.3 Def: Sei  $P$  konvexes Polygon mit  $n$  Ecken  $v_1 \dots v_n$ .

Eine Folge  $P_0, P_1, \dots, P_R$  von konvexen Polygonen heißt (innere) Hierarchische Darstellung von  $P$ , wenn gilt:

- 1)  $P_0$  hat  $\leq 4$  Ecken
- 2)  $P_R = P$ ,  $P_i \neq P_{i+1} \forall i \in \{0, \dots, R-1\}$
- 3) Jede Ecke von  $P_i$  ist Ecke von  $P_{i+1}$  und von vier aufeinanderfolgenden Ecken von  $P_{i+1}$  ist mindestens eine und höchstens drei von  $P_i$  (für  $0 \leq i < R$ ).

### 2.1.4 Beispiel:



$P = v_1 \dots v_{10} = P_2$   
 $P_1 = v_1 v_8 v_5 v_7 v_3$   
 $P_0 = v_1 v_3 v_7$   
 $\Rightarrow \{P_i\}_{i=0}^2$  ist die hierarchische Darstellung von  $P$ .

Bea:  $P_0$  kann auch  $v_1 v_3$  sein.

Dann wäre die Darstellung bzgl der Hierarchie noch tiefer.

$P_R = P$ ,  $|P_2| = 10$   
 $|P_{R-1}| = |P_1| = 5$

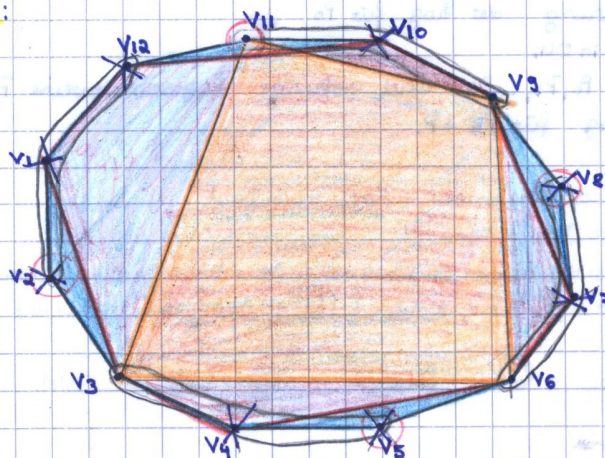
2.1.5 Bemerkung:  $P_{i-1}$  entsteht also aus  $P_i$  durch Entfernen einiger Ecken.

- von jeweils drei aufeinanderfolgenden Ecken von  $P_i$  wird mindestens eine entfernt.
- es werden nie vier aufeinanderfolgende entfernt.

### 2.1.6 Eigenschaften:

- 1) Beim Übergang von  $P_{i+1} \rightarrow P_i$  verlieren wir mindestens einen konstanten Bruchteil der Ecken ( $1/3$ )
- 2)  $P_{i+1}$  ist ähnlich zu  $P_i$ , da wir nie mehr als drei aufeinanderfolgende Ecken entfernen.

### 2.1.7 Beispiel:



Blau:  $P_0$ ,  $|P_0| = 12$

rot:  $P_{R-1}$ : es werden möglichst wenig Ecken entfernt.

$|P_{R-1}| = 8$

$P_R \rightarrow P_{R-1}$  werden  $\frac{1}{3} \cdot |P_R| = \frac{1}{3} \cdot 12 = 4$  entfernt!

orange:  $P_{R-1}$ : es werden möglichst viele Ecken entfernt.

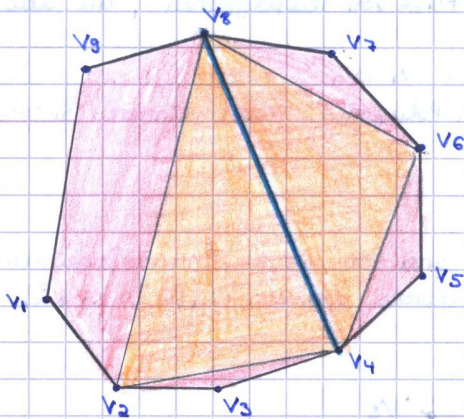
$|P_{R-1}| = 4$

$P_R \rightarrow P_{R-1}$  werden 8 Ecken entfernt!



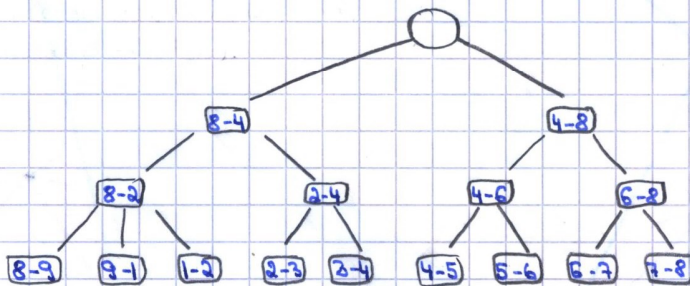
2.1.8 Alternative Darstellung beim Zeichnen:  
 balancierter Baum über Kanten von  $P_i$  ( $0 \leq i \leq n$ ).  
 (muss kein binärer Baum sein).

2.1.9 Beispiel:  
 1) wie vorher:



- █  $P_0 = v_4 v_8$ ,  $|P_0| = 2$
- █  $P_1 = v_8 v_2 v_4 v_6$ ,  $|P_1| = 4$
- █  $P_2 = P = v_1 \dots v_8$ ,  $|P| = 8$ .

2) durch balancierten Baum:



2.1.10 Lemma: könnte man zB mit ähnlichem Alg wie bei Triangulierungsmethode machen.

- 1) Eine balancierte hierarchische Darstellung eines konvexen Polygons mit  $n$  Ecken kann in Zeit  $O(n)$  berechnet werden.
- 2) benötigt Speicherplatz  $O(n)$
- 3) die Tiefe  $k$  dieser Darstellung ist  $O(\log n)$

Bew: Alle Teile folgen unmittelbar aus 2.1.6. i). bzw. Baumdarstellung.

zu 2) von  $P_i \rightarrow P_{i-1}$  verliert mind  $\frac{1}{3}$  der Knoten

$$\begin{aligned} \Rightarrow \# \text{Knoten} &\leq n + \frac{2}{3}n + \frac{2}{3}\left(\frac{2}{3}n\right) + \dots = n \left(1 + \frac{2}{3} + \left(\frac{2}{3}\right)^2 + \dots\right) = n \cdot \sum_{v=0}^{\infty} \left(\frac{2}{3}\right)^v \leq n \cdot \sum_{v=0}^{\infty} \left(\frac{1}{3}\right)^v = \\ &= n \cdot \frac{\left(\frac{1}{3}\right)^{n+1} - 1}{\frac{1}{3} - 1} = n \cdot \frac{\left(\frac{1}{3}\right)^{n+1} - 1}{-\frac{2}{3}} = n \cdot \frac{1 - \left(\frac{1}{3}\right)^{n+1}}{\frac{2}{3}} \leq n \cdot \frac{1}{\frac{2}{3}} \leq 3 \cdot n = O(n) \end{aligned}$$

2.2. Anwendungen der hierarchischen Darstellung.

verwenden immer dieselbe Strategie:

2.2.1 Strategie:

- 1) Wir berechnen eine Annäherung der  $\log$  für  $P_0$   
 Da  $P_0$  maximal 4 Ecken  $\Rightarrow$  in  $O(1)$
- 2) Dann durchlaufe die Folge  $P_0, P_1, \dots, P_k$  und verfeinere  $\log$ schrittweise  $P_i \rightarrow P_{i+1}$ .
- 3) Am Ende haben wir die  $\log$  für  $P_k = P$ .

zu 2.1.10 3):  $\text{Höhe}(T) \leq \text{Höhe}(\tilde{T})$ , wobei  $\tilde{T}$  binärer Baum mit entspr. Hiera. Darst.  
 $\Rightarrow \text{Höhe}(T) = O(\log n)$

zu 2.1.10. 1) Sei  $c_1 :=$  Arbeit, um einen Knoten in den Baum zu schreiben,  $c_2 :=$  Arbeit, um einen Knoten zu streichen  
 $\Rightarrow \text{Arbeit} \leq c_1 \cdot n + c_2 \cdot \frac{1}{3}n + c_1 \cdot \frac{2}{3}n + c_2 \cdot \left(\frac{2}{3}\right)^2 n + c_1 \cdot \left(\frac{2}{3}\right)^3 n + \dots \leq n \cdot c_1 \cdot \sum_{v=0}^{\infty} \left(\frac{2}{3}\right)^v + c_2 \cdot n \cdot \sum_{v=0}^{\infty} \left(\frac{1}{3}\right)^v \leq 3c_1 \cdot n + \frac{2}{3}c_2 n = O(n)$

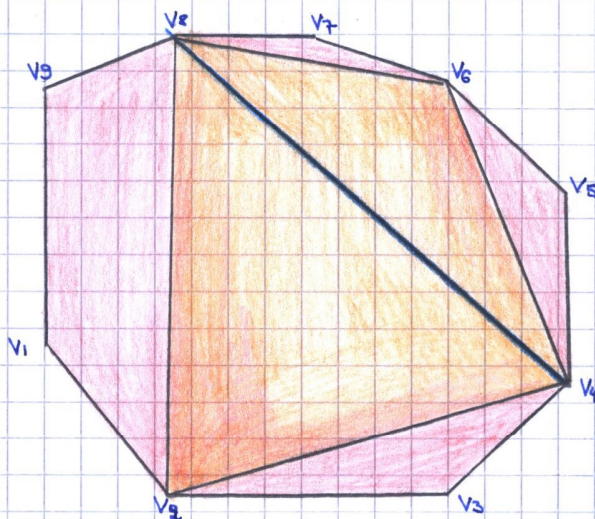
Aus Listen dann in Baum einfügen  $\Rightarrow$  kostet #Element in allen Listen  $\Rightarrow O(n)$ .



2.1.8. Alternative Darstellung:

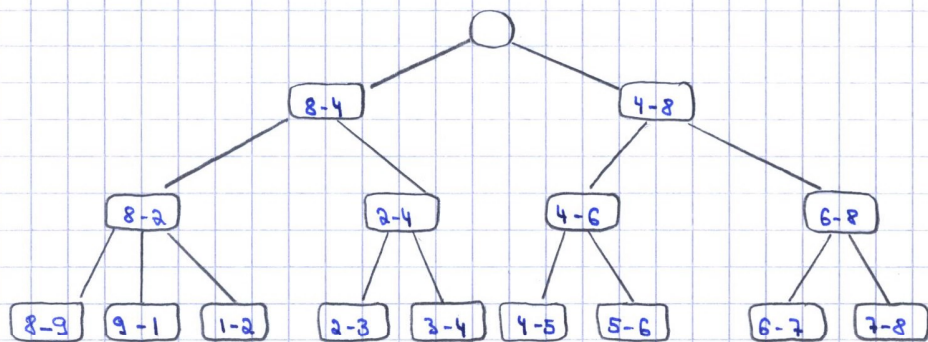
→ balancierte Baum über Kanten von  $P$  ( $0 \leq i \leq n$ )  
(muss kein binärer Baum sein.)

2.1.9. Beispiel:



- $P_0 = \{v_4, v_8\}$ ,  $|P_0| = 2$  ■
- $P_1 = \{v_2, v_4, v_6, v_8\}$ ,  $|P_1| = 4$  ■
- $P_2 = \{v_1, \dots, v_9\}$ ,  $|P_2| = 9$  ■

Darstellung durch einen balancierten Baum:



2.1.10 Lemma:

1. Eine balancierte hierarchische Darstellung eines konvexen Polygons mit  $n$  Ecken kann in Zeit  $O(n)$  berechnet werden.
2. Benötigte Speicherplatz  $O(n)$
3. die Tiefe  $k$  dieser Darstellung ist  $O(\log n)$ .

Beweis: Alle Teile folgen unmittelbar aus 2.1.8 i) bzw. Baumdarstellung.

Beachte:

Zu 1):

→ könnte man z.B. mit ähnlichem Alg. wie bei der Triangulierungsmethode machen

$$\begin{aligned}
 & c \cdot n + c \cdot \left(\frac{2}{3}\right) \cdot n + c \cdot \left(\frac{2}{3}\right)^2 \cdot n + \dots = \\
 & = c \cdot n \cdot \sum_{v=0}^{\log n} \left(\frac{2}{3}\right)^v \leq c \cdot n \cdot \sum_{v=0}^{\infty} \left(\frac{2}{3}\right)^v = c \cdot n \cdot \frac{1 - \left(\frac{2}{3}\right)^{n+1}}{1 - \frac{2}{3}} = \\
 & = c \cdot n \cdot 3 \cdot \underbrace{\left(1 - \left(\frac{2}{3}\right)^{n+1}\right)}_{\xrightarrow{n \rightarrow \infty} 1} \leq \underbrace{M}_{const} \cdot n = O(n).
 \end{aligned}$$

Zu 2):

# Knoten =  $O(n)$

Zu 3):  $\text{Höhe}(T) \leq \text{Höhe}(\tilde{T})$ , wobei  $\tilde{T}$  binärer Baum  
=  $O(\log n)$ .



## 2.2 Anwendung der Hierarchischen Darstellung:

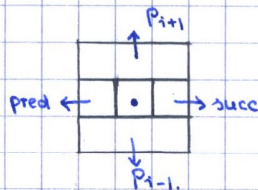
→ verwenden immer dieselbe Strategie:

### 2.2.1 Strategie:

- 1) Wir berechnen eine Annäherung der Lösung für  $P_0$ .  
Da  $P_0$  maximal vier Ecken  $\Rightarrow$  in  $O(1)$ .
- 2) Dann durchlaufe die Folge  $P_0, P_1, \dots, P_k$  und verfeinere die Lösung schrittweise  $P_i \rightarrow P_{i+1}$ .
- 3) Am Ende haben wir die Lsg für  $P_k = P$ .

### 2.2.2 Darstellung im Rechner:

- $P_i, 0 \leq i \leq k$  als doppelt verkettete Liste der Ecken und jede Ecke von  $P_i$  zeigt zusätzlich auf ihre Kopie in  $P_{i+1}$  und umgekehrt.

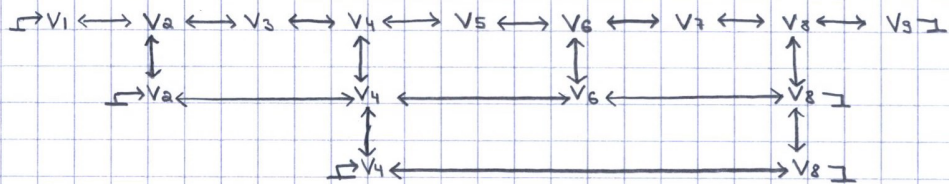


- explizite Synchronisierung des Kantenbaumes  
→ Dynamisierung (Ecken einfügen / löschen)  
(wie bei Suchbäumen).

### 2.2.3 Beispiel:

Sei  $P$  gegeben wie in 2.1.9.

⇒



## 2.2.4 Anwendung: Schnitt mit einer Geraden:

### 2.2.4.1 Ziel:

Geg: Hierarchische Darstellung  $P_0, \dots, P_k$  eines konvexen Polygons  $P$  und eine Gerade  $g$

Ausgabe:  $P \cap g$

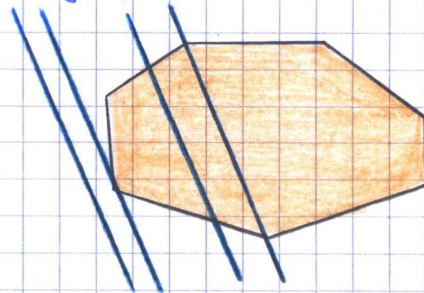
Konvexität  $\Rightarrow P \cap g =$  Strecke (wenn nicht leer und Ecke)

$\Rightarrow$  Es genügt Schnittpkte  $a, b$  mit den Randsegmenten zu berechnen.

Fälle: 1)  $a \neq b$  (allg. Fall, Ecken möglich)

2)  $a = b$  (eine Ecke)

3) ex. nicht!  $P \cap g = \emptyset$ .



### 2.2.4.2 Idee für Algorithmus:

1) Schnittpkt mit  $P_0$ :

2 Fälle: a)  $P_0 \cap g = \emptyset$

b)  $P_0 \cap g \neq \emptyset$

Im Fall B)  $\rightarrow$  STOP

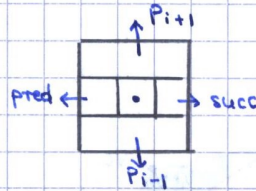
Im Fall a):

set  $g_0 \in P_0$  mit minimalen Abstand zu  $g$ .



### 2.2.2. Darstellung im Rechner:

- $P_i$ ,  $0 \leq i \leq R$  als doppelt verkettete Liste der Ecken + jede Ecke von  $P_i$  zeigt zusätzlich auf ihre Kopie in  $P_{i+1}$  und umgekehrt

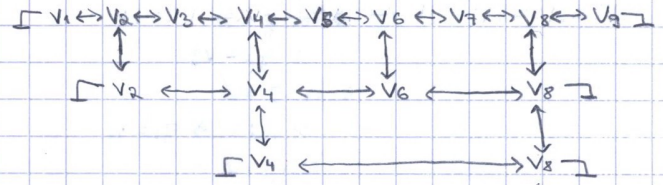
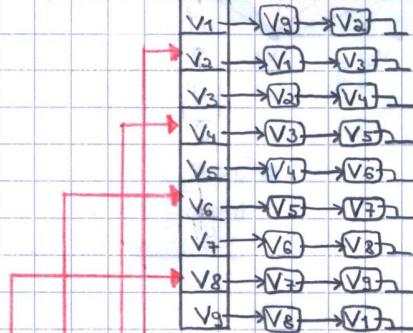


- explizite Speicherung des Kantensbaums  
→ Dynamisierung (Ecken einfügen/löschen)  
(wie bei Suchbäumen)

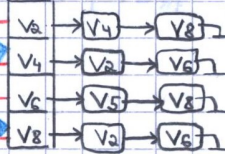
### 2.2.3 Beispiel:

Sei  $P$  gegeben wie in 2.1.9.

$P_0$  als verkettete Liste:



$P_1$  als verkettete Liste:



$P_0$  als verkettete Liste:



### 2.2.4. Anwendung: Schnitt mit einer Geraden:

#### → 2.2.4.1 Ziel:

Geg: Hierarchische Darstellung  $P_0 \dots P_R$  eines konvexen Polygons  $P$  und eine Gerade  $g$ .

Ausgabe:  $P \cap g$

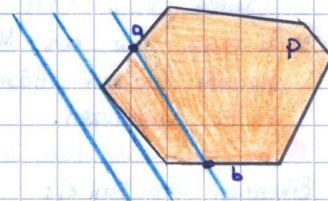
Konvexität  $\Rightarrow P \cap g =$  Strecke

$\Rightarrow$  Es genügt Schnittpunkte  $a, b$  mit den Randsegmenten zu berechnen.

Fälle: 1)  $a \neq b$  (allg. Fall, Ecken möglich)

2)  $a = b$  (eine Ecke)

3) ex. nicht!, Schnitt =  $\emptyset$



#### 2.2.4.2. Idee für Algorithmus:

1) Schnitttest mit  $P_0$ :

2 Fälle: a)  $P_0 \cap g = \emptyset$

konst. Operationen, weil  $|P_0| \leq 4$

b)  $P_0 \cap g \neq \emptyset$

Ann: wir haben Fall a)

$\Rightarrow$  sei  $q_0 \in P_0$  mit minimalen Abstand zu  $g$

Im Fall b  $\rightarrow$  STOP



d) Durchlaufe die hierarchische Darstellung  $P_1, P_2, \dots$  und finde entweder:

a)  $q_i \in P_i$  mit minimalen Abstand, falls  $P_i \cap g = \emptyset$

oder

b) Schnittpkte  $a_i, b_i$  von  $P_i$  mit  $g$ .

Im Fall b)  $\rightarrow$  STOP.

Bsp:  $P = V_1 \dots V_9 = P_2$

$P_1 = V_1 V_2 V_8 V_7 V_9$

$P_0 = V_2 V_7 V_9$

Im Alg:

1)  $P_0 \cap g = \emptyset$

$\Rightarrow q_0 = V_9$

2)  $P_1 \cap g \neq \emptyset$

$\Rightarrow$  Fall b)  $\rightarrow$  finde  $a_1, b_1$

STOP

Im Alg:

1)  $P_0 \cap g = \emptyset$

$\Rightarrow q_0 = V_9$

2)  $P_1 \cap g = \emptyset$

$\Rightarrow$  Teil a)  $\Rightarrow q_1 = V_1$

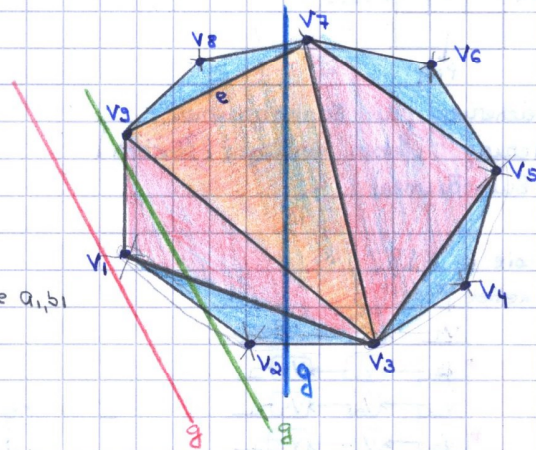
$P_2 \cap g = \emptyset$

$\Rightarrow$  Teil a)  $\Rightarrow q_2 = V_1$ .

Im Alg:

1)  $P_0 \cap g \neq \emptyset$

$\Rightarrow$  STOP



Zwei mögliche Ausgänge: (wenn  $i = k$ )

a)  $P_k \cap g = P_n \cap g = \emptyset$  und wir kennen Ecke  $q_k \in P$ , die  $g$  am nächsten

b)  $P_i \cap g = (a_i, b_i)$  für  $0 \leq i \leq k$

Im Bsp:

$\rightarrow$  Ausgang b)  $\Rightarrow P_i \cap g = (a_i, b_i)$  für  $i=1$ .

$\rightarrow$  Ausgang a)  $\Rightarrow P_n \cap g = \emptyset$ ,  $q_2 = V_1 \in P$ .

$\rightarrow$  Ausgang b)  $\Rightarrow P_0 \cap g = (a_0, b_0)$  für  $i=0$ .

Ausgang a)  $\Rightarrow$  fertig,  $P_n \cap g = \emptyset$

Ausgang b)  $\Rightarrow$  Wir müssen Schnittpkte  $(a_i, b_i)$  später verfeinern bis  $(a_k, b_k)$  } Phase 2 gefunden.

Nun: Übergang von  $q_i \rightarrow q_{i+1}$  (Fall a) bzw. Test, ob Fall b) gilt.

$\rightarrow$  2.2.4.3 Laufzeit:

Phase 1: Kandidaten für nächsten Pkt  $q_{i+1}$  sind schon genau die Ecken von  $P_{i+1}$  die Verfeinerungen der Nachbarkanten von  $q_i$  in  $P_i$

Das folgt unmittelbar aus der Konvexität.

Im Bsp:  $i=0$ ,  $q_0 = V_9$ , Kand. für  $q_1$  ist Ecke von  $P_1$  nämlich  $V_1$

Dies ist die Ecke der Verfeinerungen der Nachbarkanten von  $q_0 = V_9$ , nämlich der Kanten  $(V_9, V_1) \wedge (V_9, V_3)$

$\Rightarrow$  Es muß nur ein Minimum in einer konstanten Zahl von Kandidaten gesucht werden, nämlich in den Verfeinerungen der Kanten, die an  $q_i$  in  $P_i$  angrenzen.

Im Bsp: Suche Min. in  $(V_9, V_1), (V_9, V_3)$

Erkennen von Fall b):

Teste in der Kandidatenmenge, ob ein Pkt auf der anderen Seite von  $g$  liegt. (Orientierung)

$\Rightarrow (a_{i+1}, b_{i+1})$  in konst. Zeit denn konst. viele Kand.

(Schnittberechnung mit Verfeinerungskanten).

Im Bsp:  $i=0$ ,  $q_0 = V_9 \Rightarrow$  Kandidatenmenge:  $(V_9, V_1)$  und  $(V_9, V_3)$

$V_1$  liegt auf der anderen Seite von  $g$ , denn  $\text{orient}(V_9, V_1, g) > 0$

$\Rightarrow$  Teil b) erkannt

(bea:  $\text{orient}(V_9, V_3, g) \leq 0$ )



- Laufzeit:
- $O(1)$  pro Hierarchiestufe
  - Haben nur  $O(\log n)$  Stufen
- $\Rightarrow O(\log n)$  für die erste Phase.

Nach Phase 1 haben wir zwei Fälle:

- Fall a)  $\Rightarrow$  fertig.  
 Fall b)  $\Rightarrow$  machen weiter zu Phase 2.

Phase 2: Geg:  $\{a_i, b_i\} = P \cap g$  für  $i < k$  (sonst fertig) und es sind keine Ecken (sonst ebenfalls fertig).

Betrachte  $a_i$  ( $b_i$  analog):

$a_{i+1}$  muss Schnittpkt sein mit einer Verfeinerungskante von  $e$ , wobei  $a_i = \text{eng}$

• Bsp: Betrachte  $a_0, i=0 < 2$

$a_1$  ist Schnittpkt mit Verfeinerungskante von  $e$ , wobei  $a_0 = \text{eng}$  und der Geraden  $g$ .

Die Verfeinerungskanten von  $e$  sind  $(v_s, v_e)$  und  $(v_e, v_r)$

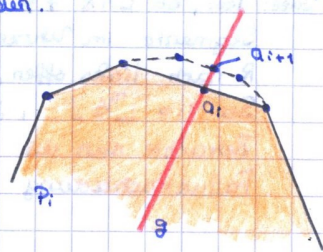
$\Rightarrow a_{i+1}$  kann in Zeit  $O(1)$  aus  $a_i$  berechnet werden.

( $b_{i+1}$  analog aus  $b_i$ )

Weil #Verf.kanten konst. Genauw  $\leq 4$ .

$\Rightarrow$  Laufzeit von Phase 2 auch  $O(\log n)$ .

$\Rightarrow$  Gesamte Laufzeit also  $O(\log n)$ !



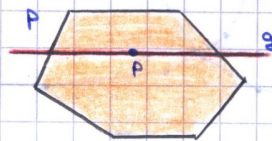
2.2.5 Satz: Für ein konvexes Polygon  $P$  kann:

- 1) die hierarchische Darstellung in Zeit  $O(n)$  aufgebaut werden.
- 2) Braucht Platz  $O(n)$
- 3) für beliebige Gerade  $g$  kann  $P \cap g$  mit Hilfe der hierarchischen Darstellung in Zeit  $O(\log n)$  berechnet werden.

2.2.6 Bem.

1) Teil 3)  $\Rightarrow$  Alternativer  $\log n$ -Alg. zum Test, ob  $P \cap g \neq \emptyset$  ist.

Idee:



$$P \cap g \neq \emptyset \Leftrightarrow P \cap P \cap g$$

- Betr. Gerade  $g$  durch  $p$  parallel zu  $x$ -Achse
- Berechne hieras. Darst.
- Berechne Schnittpkte
- Schau ob  $p_x \in [a_x, b_x]$

$\Rightarrow$  Zeit:  $O(1) + O(n) + O(\log n) + O(1) = O(n)$ !

2) Hieras. Darstellung auch im  $\mathbb{R}^3$  möglich, dh. für konvexe Polyeder.  
 (dazu später mehr...)

2.3 Weiteres Problem auf konvexen Polygonen: Schnitt von zwei konvexen Polygonen.

2.3.1. Ziel: Geg: zwei konvexe Polygone  $P, Q$

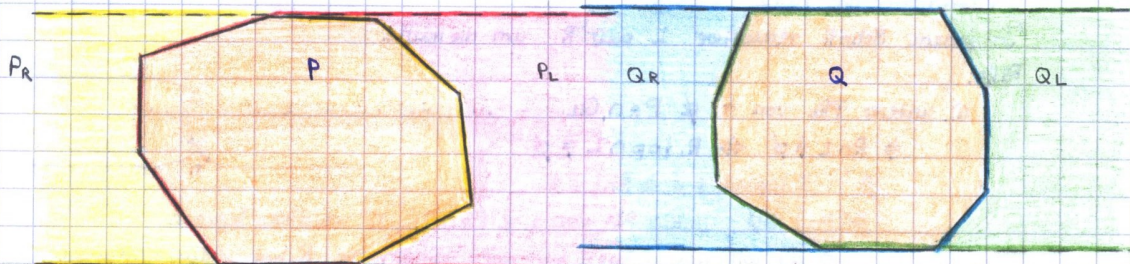
Test ob  $P \cap Q \neq \emptyset$

Ann. Wir wissen schon, wie man  $P \cap Q$  in Zeit  $O(n)$  berechnet, wobei  $n =$  Gesamtzahl der Ecken.

2.3.2. Idee:

1) Betrachte ein einfacheres Problem: Test, ob sich zwei polygonale Ketten schneiden.

- Zerlege  $P$  in linken ( $P_L$ ) & rechten ( $P_R$ ) Rand durch Zerschneiden an Extrempkten gemäß  $y_x$ -Sortierung der Ecken.
- Erweitere durch entsprechende horizontale Strahlen.





Beobachtung:  $P \cap Q \neq \emptyset \Leftrightarrow P \cap Q \cap R \neq \emptyset \wedge P \cap R \cap Q \neq \emptyset$

Beweis:  $P \cap Q \neq \emptyset \Rightarrow P \cap R \cap Q \neq \emptyset \wedge P \cap Q \cap R \neq \emptyset$  klar.

Für  $P$  mit  $P \cap R \cap Q \neq \emptyset \Leftrightarrow P \cap Q \neq \emptyset$   
(hierbei gilt auch  $P \cap Q \cap R \neq \emptyset$ )

Für  $Q$  mit  $Q \cap R \cap P \neq \emptyset \Leftrightarrow P \cap Q \neq \emptyset$   
(hierbei gilt auch  $Q \cap L \cap P \neq \emptyset$ )

$\Rightarrow$  Falls  $P \cap R \cap Q \neq \emptyset \wedge P \cap Q \cap R \neq \emptyset \Rightarrow P \cap Q \neq \emptyset$

2). Lösung des einfacheren Problems:

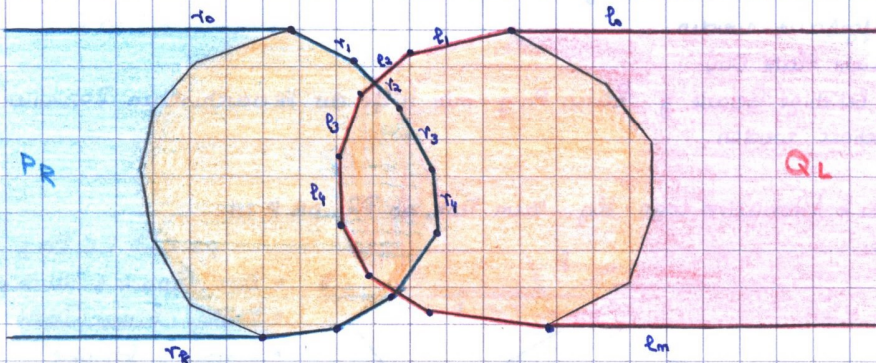
Bea: Wir wissen nicht, ob  $P$  linkes und  $Q$  rechtes Polygon oder umgekehrt.

Idee: Test, ob  $L \cap R \neq \emptyset$  in Zeit  $O(\log n)$ , wobei  $R = r_0 \dots r_k$  gegeben durch die Segmente im Uhrzeigersinn ( $r_0, r_k$  Strahlen) und  $L = l_0 \dots l_m$  analog gg. Uhrzeigersinn.  $R$  nach links offen,  $L$  nach rechts offen.

Sei  $i := \lfloor \frac{m}{2} \rfloor, j := \lfloor \frac{k}{2} \rfloor$

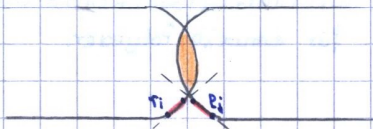
Betrachte nun die mittleren Segmente  $r_i$  und  $l_j$ .

Fallunterscheidung gemäß der Lage von  $l_j$  und  $r_i$  auf Geraden  $R_i$  und  $L_j$ .



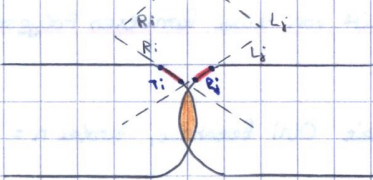
Es gibt nun mehrere Fälle:

1)



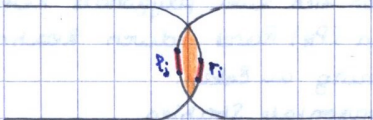
$\leftarrow P \cap Q$  oberhalb von den unteren Endpunkten von  $r_i$  und  $l_j$

2)



$\leftarrow P \cap Q$  unterhalb von den oberen Endpunkten von  $r_i$  und  $l_j$

3)



$\leftarrow$  Endpunkte von  $r_i$  und  $l_j \in P \cap Q$   
(Bea: Hierbei müssen sich die Polygone nicht notw. schneiden!)

Wir betrachten hier Fall 1

In jedem Schritt reduziere  $L$  oder  $R$  um die Hälfte.

Fälle:

a). unterer Pkt von  $r_i \notin P \cap Q$

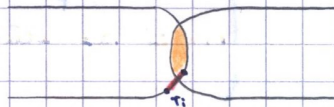
$\Rightarrow R \cap L \neq \emptyset \Leftrightarrow R \cdot \text{top} \cap L \neq \emptyset$

$\Leftarrow$ :  $R \cdot \text{top} \cap L \neq \emptyset \Rightarrow R \cap L \neq \emptyset$

$\Rightarrow$  "  $P \cap L \neq \emptyset$ , unterer Pkt von  $r_i \notin P \cap Q$ ,  $r_i$  mittleres Segment

$\Rightarrow$  da wir uns im Fall 1 befinden, können wir  $R \cdot \text{bot}$  tauschmüssen.

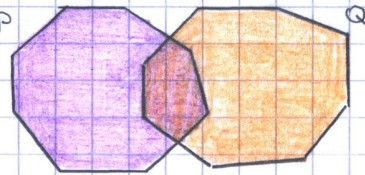
$\Rightarrow R \cdot \text{top} \cap L \neq \emptyset$ .





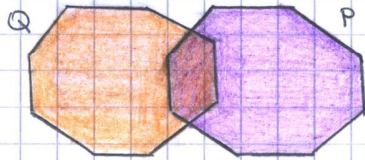
Beobachtung:  $P \cap Q \neq \emptyset \Leftrightarrow P \cap Q \neq \emptyset \wedge P \cap Q \neq \emptyset$ .

Denn:



Hier:  $P \cap Q \neq \emptyset \Leftrightarrow P \cap Q \neq \emptyset$

Bea: Man weiß in der Regel nicht, welches Polygon rechts und welches links liegt.



Hier:  $P \cap Q \neq \emptyset \Leftrightarrow P \cap Q \neq \emptyset$

$\Rightarrow$  insgesamt gilt also: falls  $P \cap Q \neq \emptyset \wedge P \cap Q \neq \emptyset \Rightarrow P \cap Q \neq \emptyset$

" $\Leftarrow$ " klar

$\Rightarrow$  die obige Beh.

2) Lösung des einfacheren Problems:

Idee: Test, ob  $L \cap R \neq \emptyset$  in Zeit  $O(\log n)$ , wobei  $R = \{r_0 \dots r_n\}$  und  $L = \{l_0 \dots l_m\}$  gegeben durch die Segmente im Uhrzeigersinn (für R) und gegen Uhrzeigersinn (für L).

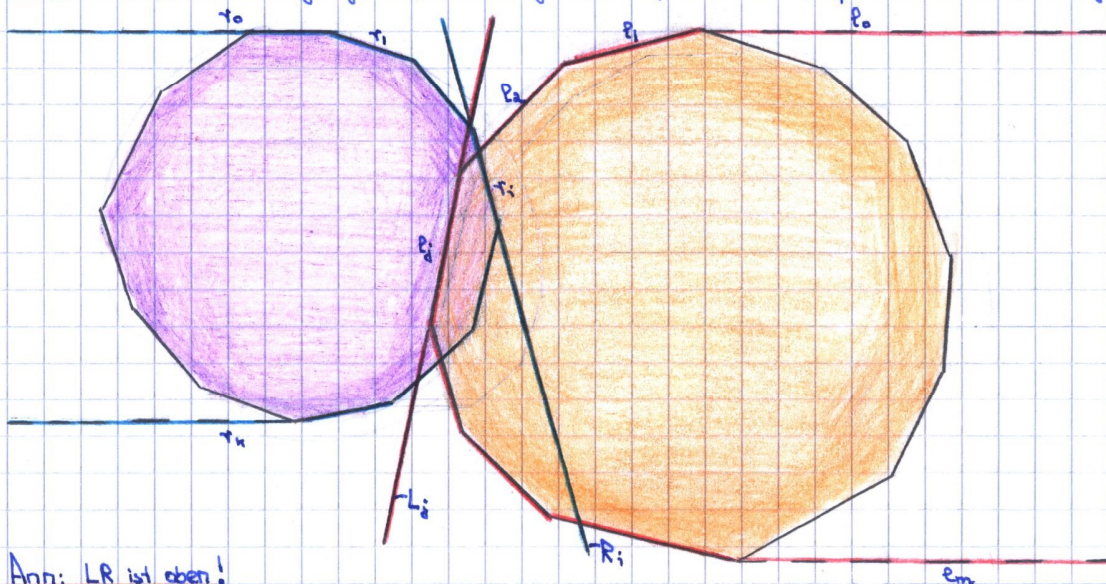
( $r_0$  und  $r_n$  bzw.  $l_0$  und  $l_m$  sind Strahlen).

R ist nach links offen und L nach rechts offen.

Sei  $i := \lfloor m/2 \rfloor$  und  $j := \lfloor n/2 \rfloor$

Betrachte nun die mittleren Segmente  $r_i$  und  $l_j$

Nun: Fallunterscheidung gemäß der Lage von  $l_j$  und  $r_i$  auf Geraden  $R_i$  und  $L_j$ :

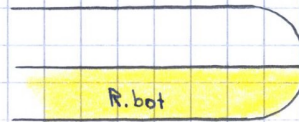


Ann: LR ist oben!

In jedem Schritt reduziere L oder R um die Hälfte.

Fälle:

- a) unterer Pkte von  $r_i$  ist nicht in LR  
 $\Rightarrow R \cap L \neq \emptyset \Leftrightarrow R.\text{top} \cap L \neq \emptyset$   
 wobei:



- b) unterer Pkte von  $l_j$  ist nicht in LR.

$\Rightarrow R \cap L \neq \emptyset \Leftrightarrow R.L.\text{top} \neq \emptyset$

- c) beide unteren Pkte sind in LR

vi) falls  $u_{r_i}$  unterhalb von  $u_{l_j}$

$\Rightarrow R \cap L \neq \emptyset \Leftrightarrow R.\text{top} \cap L \neq \emptyset$

lii) falls  $u_{l_j}$  unterhalb von  $u_{r_i}$

$\Rightarrow R \cap L \neq \emptyset \Leftrightarrow R \cap L.\text{top} \neq \emptyset$

Hierbei:  $u_{r_i} \hat{=}$  unterer Endpunkte von  $r_i$   
 $u_{l_j} \hat{=}$  unterer Endpunkte von  $l_j$ .



⇒ In Zeit  $O(i)$  wird entweder L oder R auf die Hälfte reduziert.  
Wiederhole nun bis  $l_j$  sich mit  $r_i$  überschneidet oder bis nur noch konstante Größe von L und R.

2.3.3. Laufzeit: sei  $R + m + 2 =: n$

⇒ der eigentliche Test, ob  $L \cap R \neq \emptyset$  in Zeit  $O(\log n)$ .

Kleines Beispiel zur Veranschaulichung: